

Рис. 5.27. Схема антенного поля

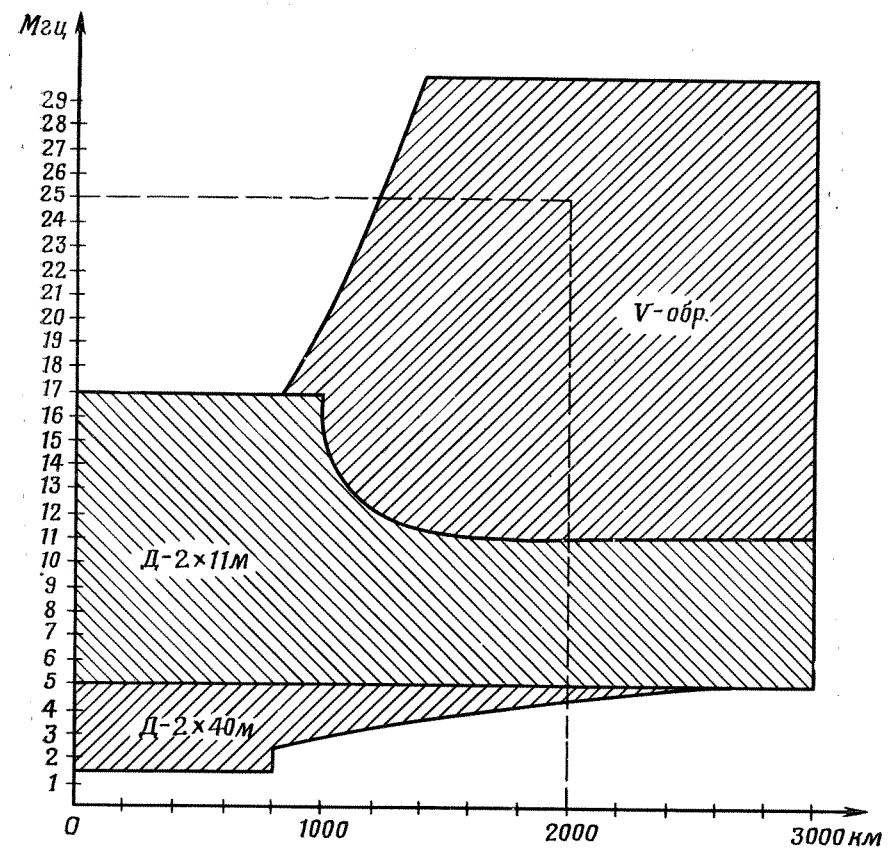


Рис. 5.26. Карта для выбора антенны

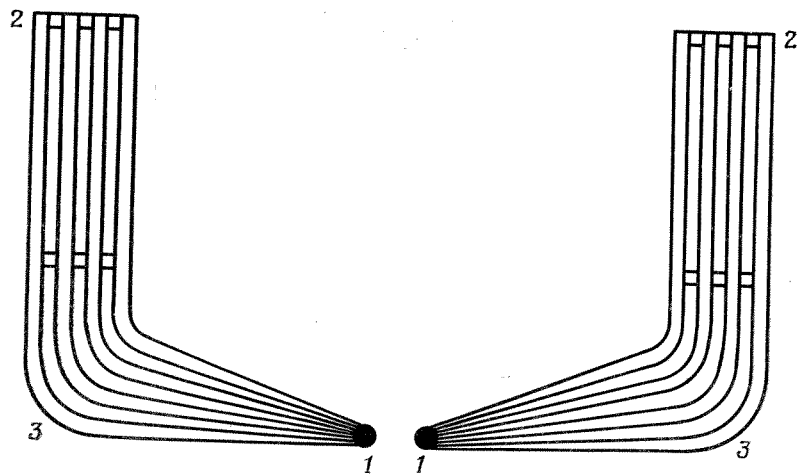
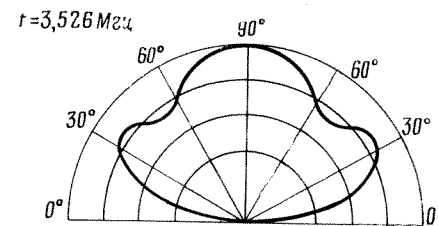
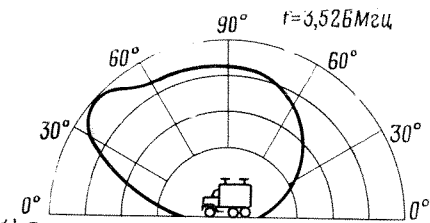


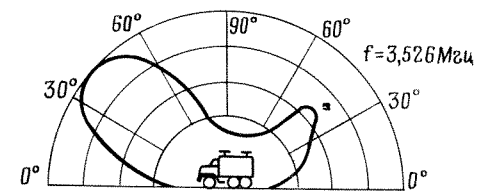
Рис. 5.19. Крышевая антенна зенитного излучения (АЗИ)



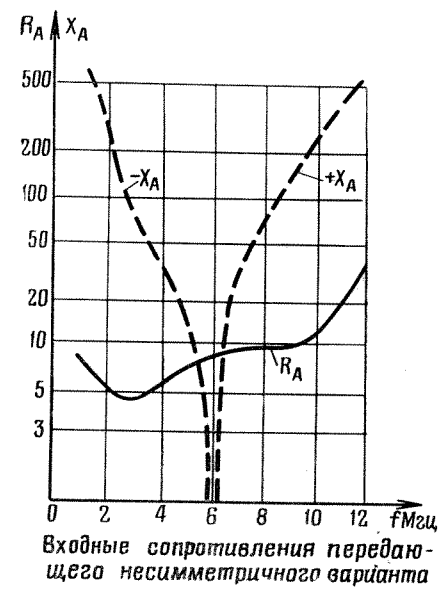
а) Диаграмма направленности приемного симметричного варианта в вертикальной плоскости (перпендикулярной оси машины)



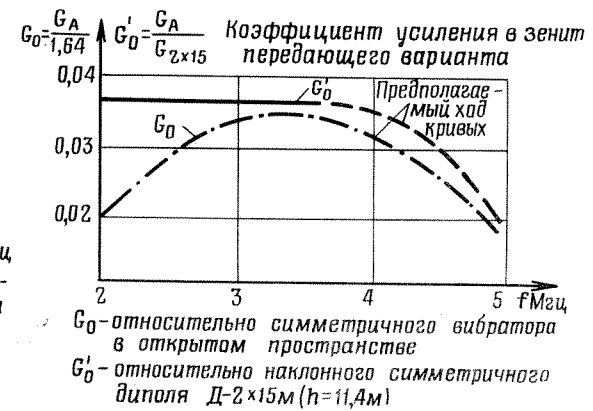
б) Диаграмма направленности приемного симметричного варианта в вертикальной плоскости (по оси машины)



в) Диаграмма направленности передающего несимметричного варианта в вертикальной плоскости (по оси машины)



Входные сопротивления передающего несимметричного варианта



$G_0$  - относительно симметричного вибратора в открытом пространстве  
 $G_0'$  - относительно наклонного симметричного диполя Д-2x15м (h=11,4м)

Рис. 5.20. Крышевая антенна зенитного излучения для связи в движении и ее основные характеристики

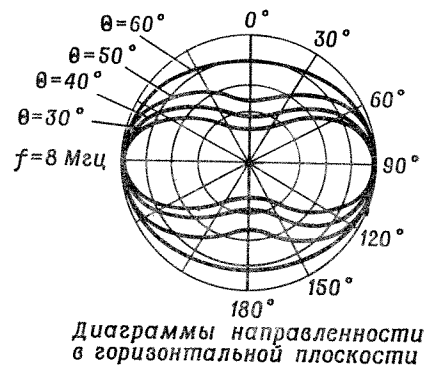
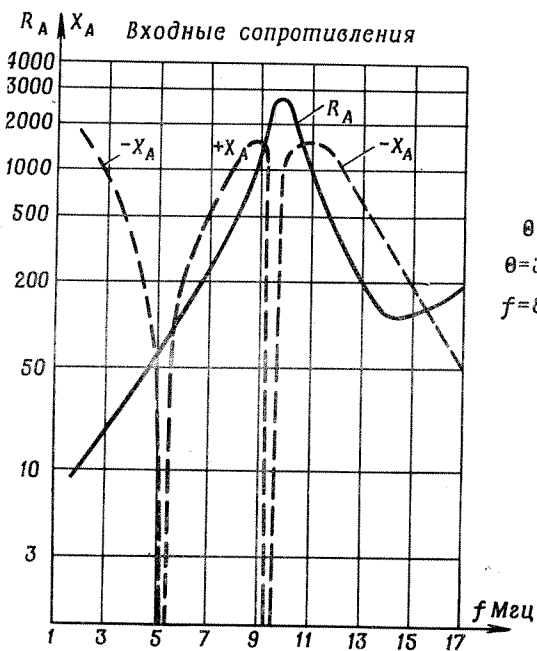
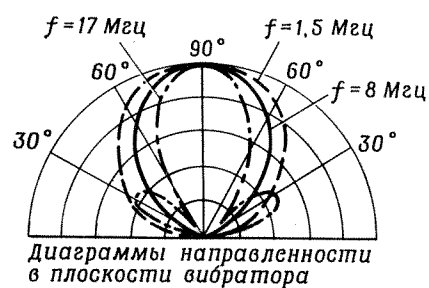
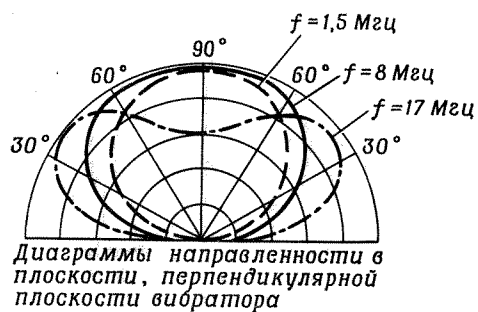
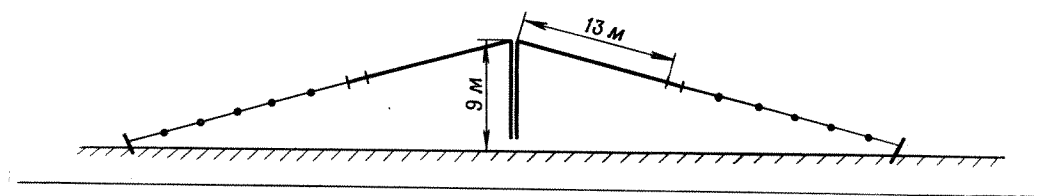


Рис. 5.17. Антенна наклонный симметричный вибратор Д — 2 × 13 м и ее основные характеристики

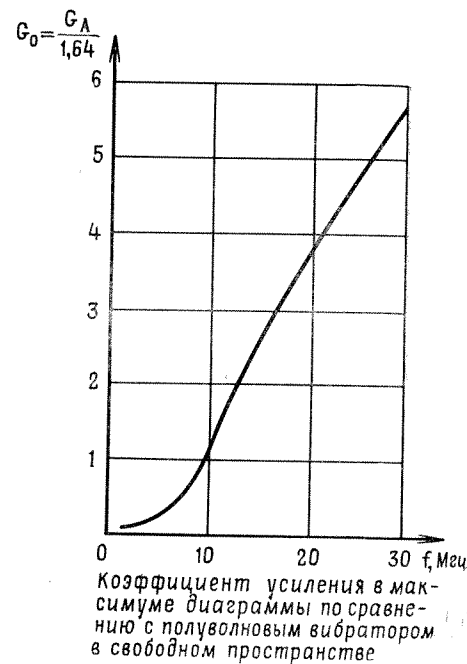
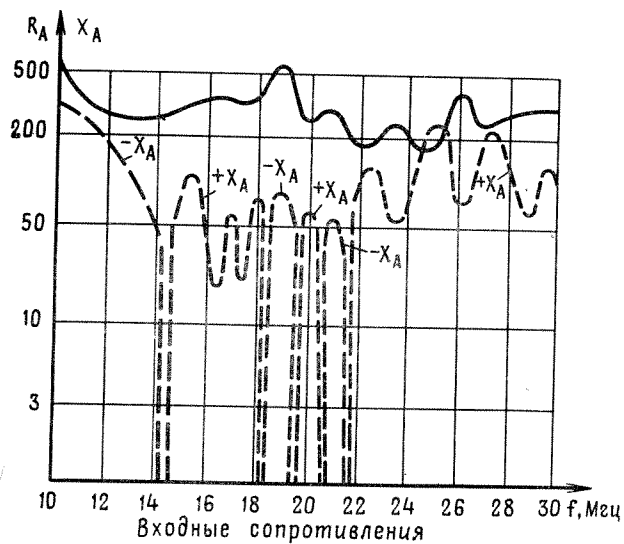
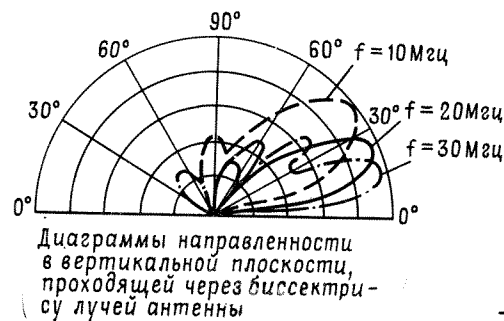
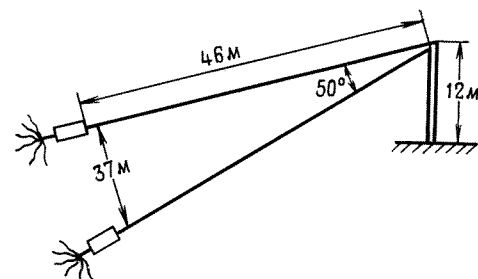


Рис. 5.18. Наклонная V-образная антенна бегущей волны и ее основные характеристики

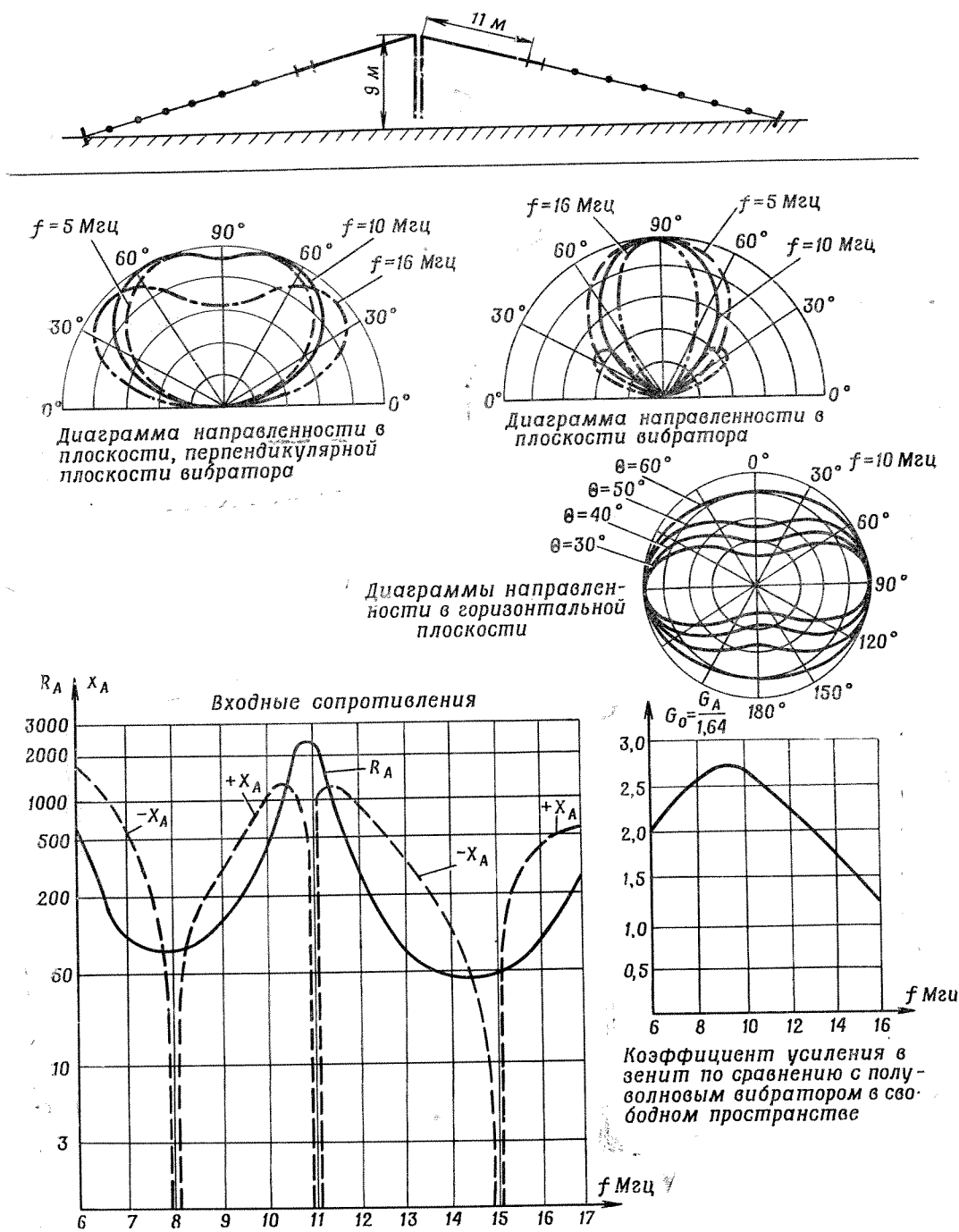


Рис. 5.15. Антенна наклонный симметричный вибратор Д — 2 × 11 м и ее основные характеристики

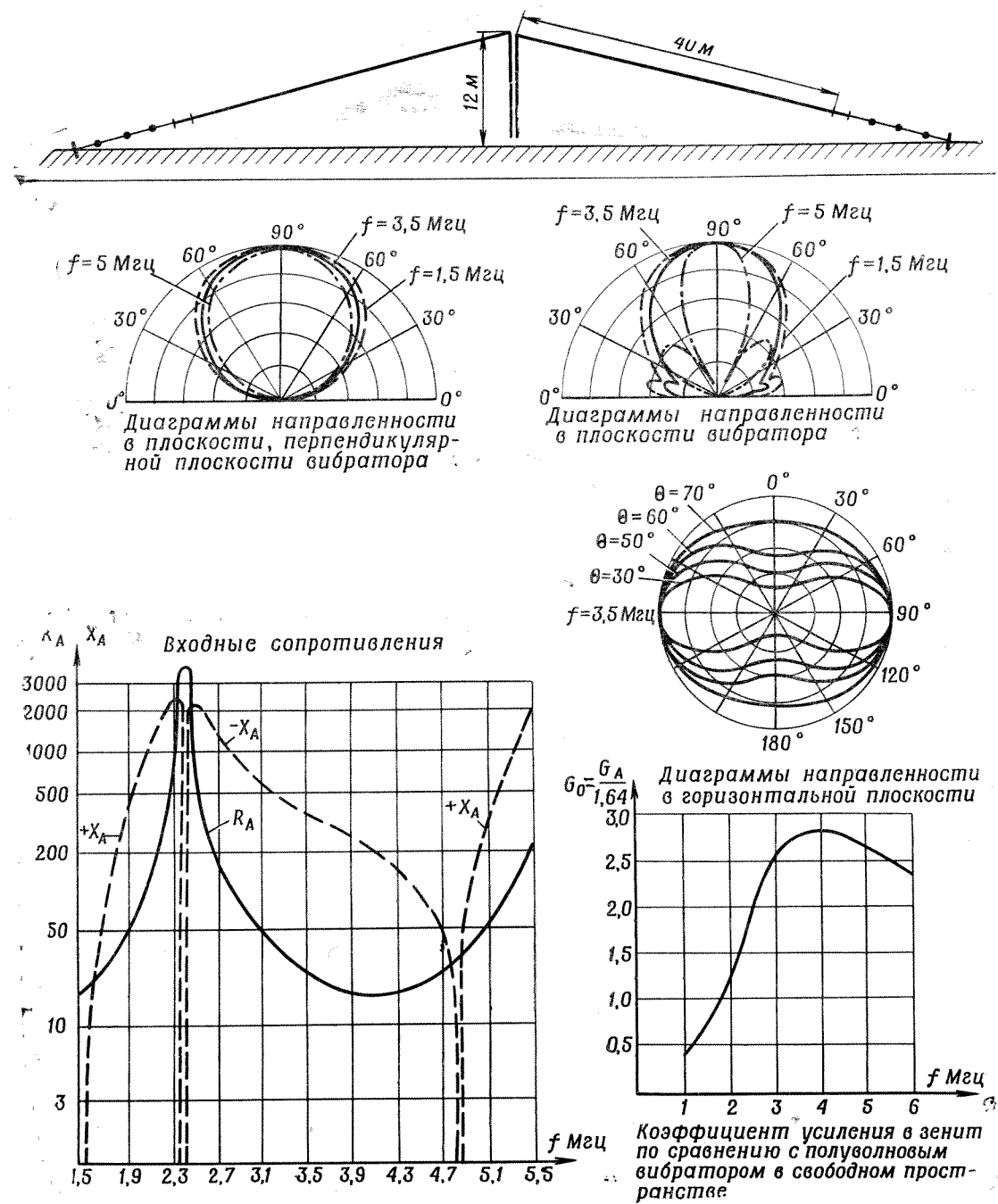


Рис. 5.16. Антенна наклонный симметричный вибратор Д — 2 × 40 м и ее основные характеристики

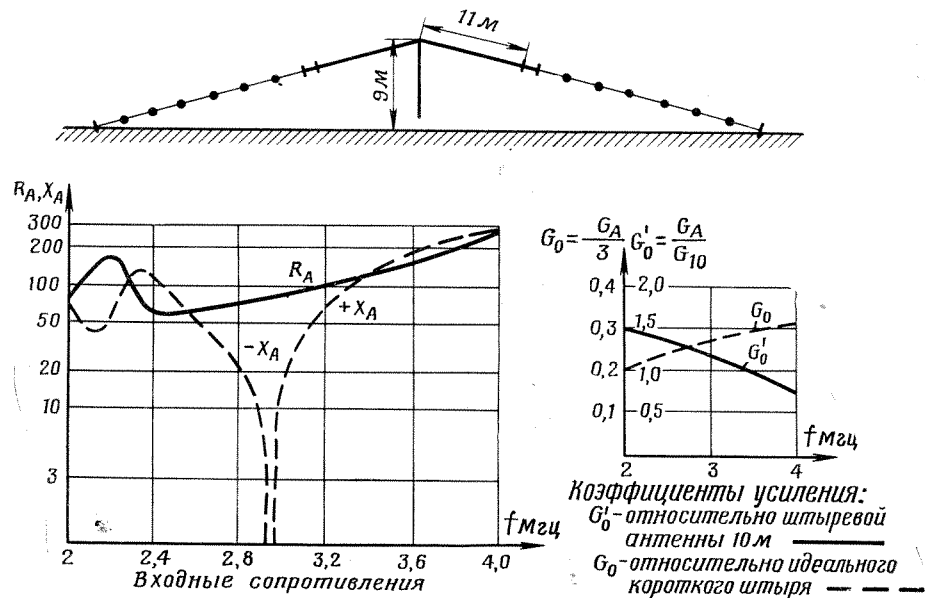


Рис. 5.11. Наклонная Т-образная антенна Т — 2 × 11 м и ее основные характеристики

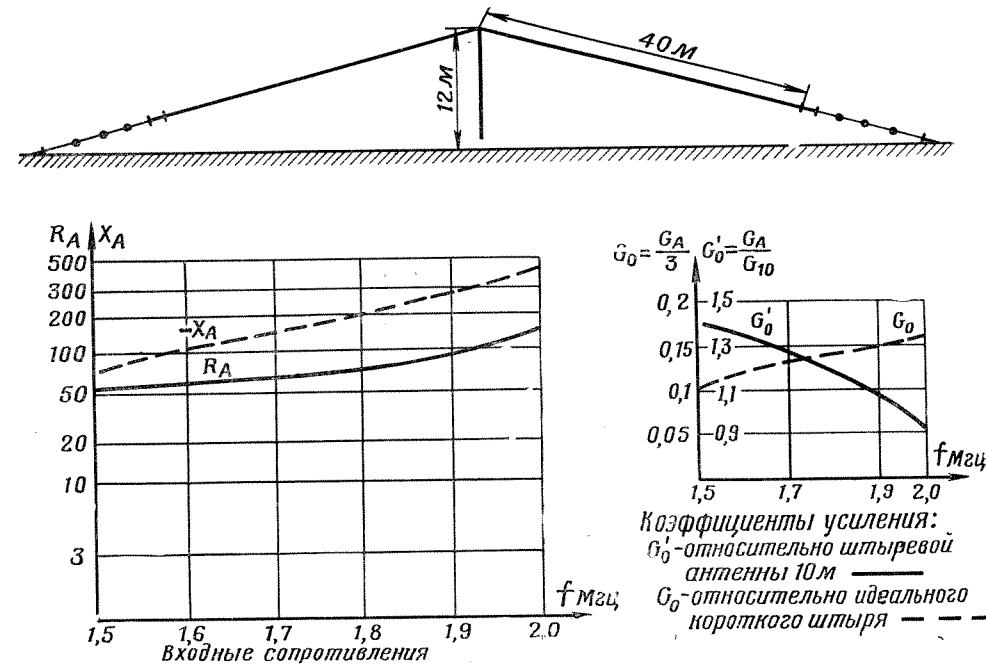


Рис. 5.12. Наклонная Т-образная антенна Т — 2 × 40 м и ее основные характеристики

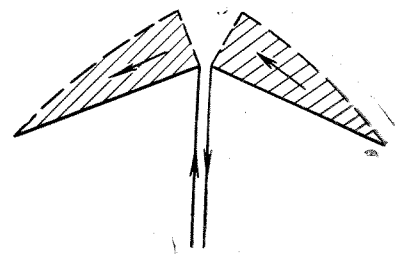


Рис. 5.13. Распределение тока в наклонном симметричном вибраторе (диполе)

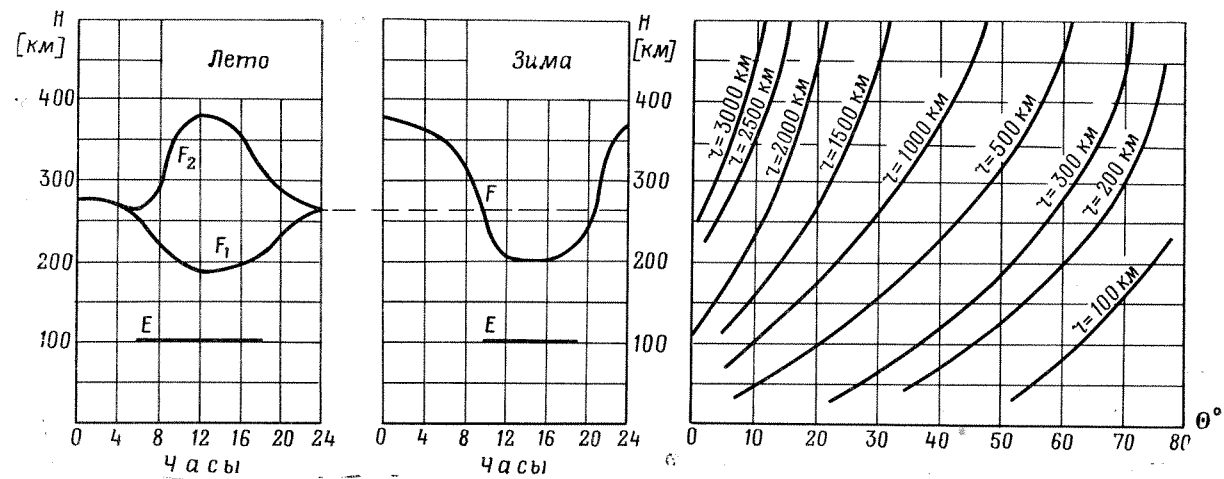


Рис. 5.14. Соотношения между высотой отражающего слоя ионосферы  $H$ , углом возвышения  $\theta$  и дальностью связи  $r$



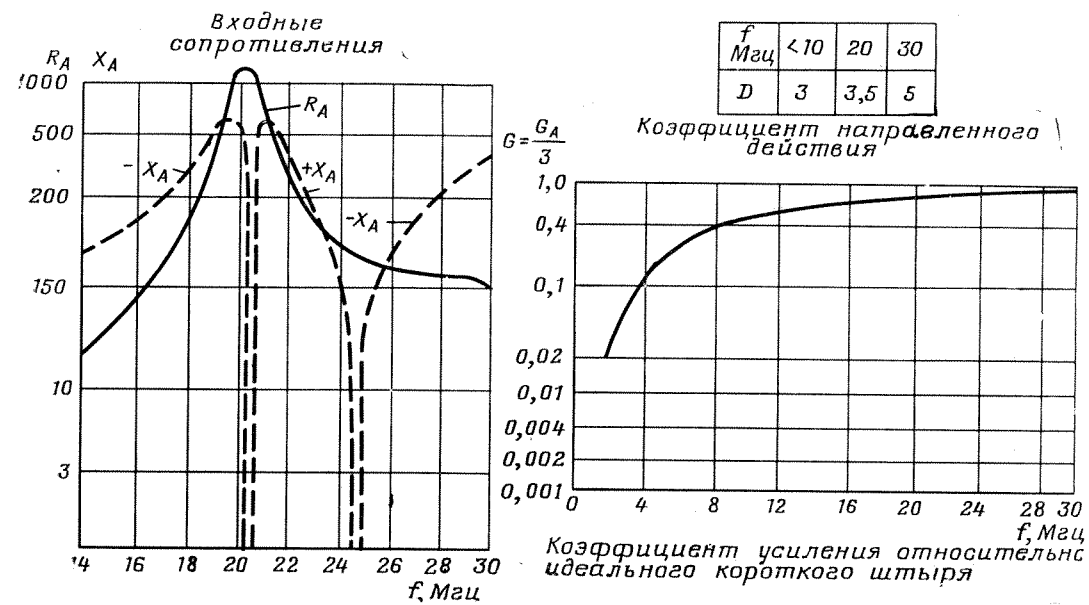
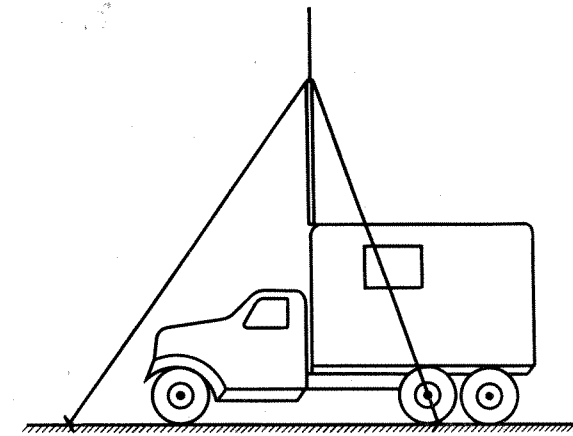
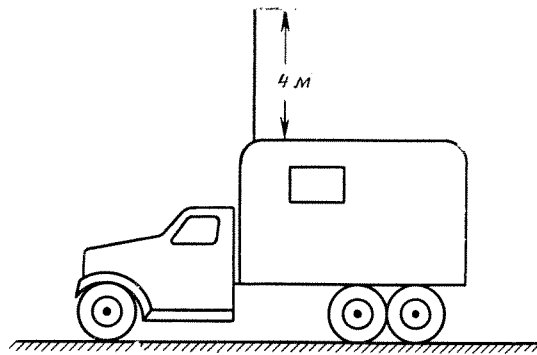


Рис. 5.9. Штыревая антенна 4 м на автомобиле и ее основные характеристики

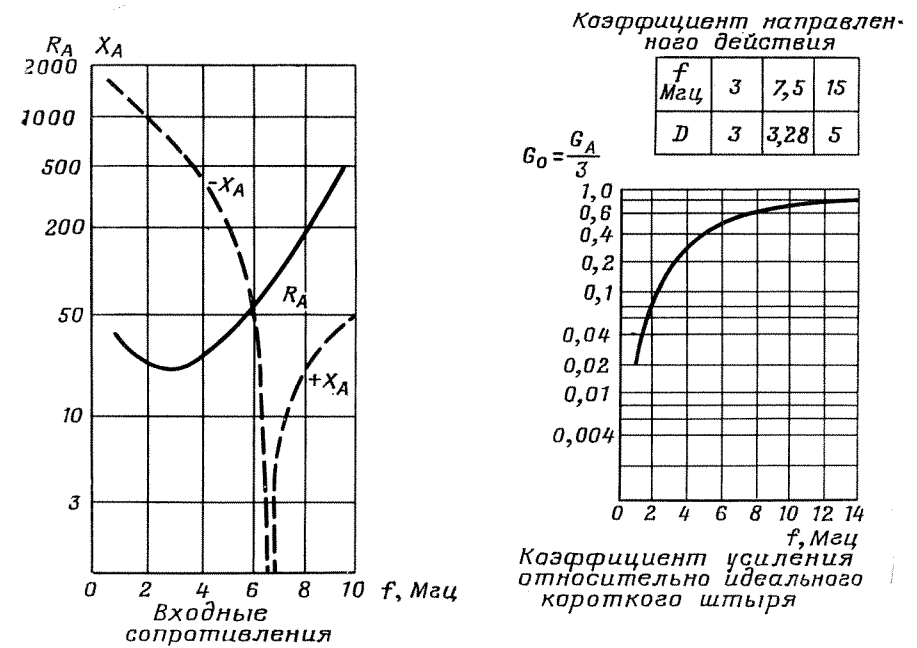


Рис. 5.10. Полутелескопическая штыревая антенна 10 м на автомобиле и ее основные характеристики

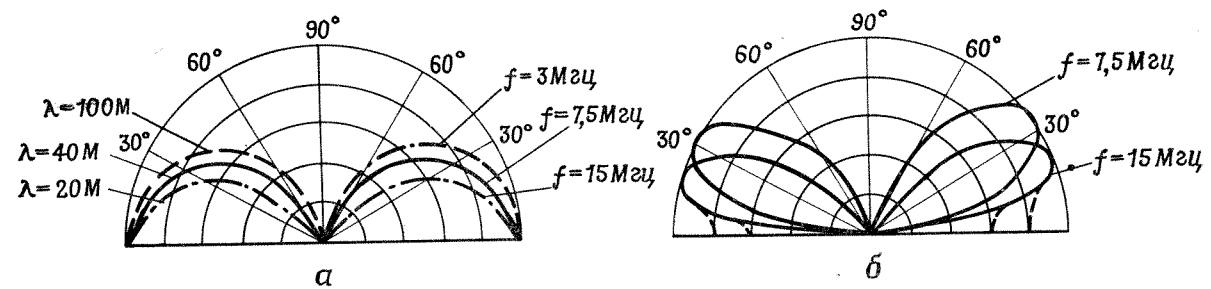


Рис. 5.7. Диаграммы направленности антенны земной волны (штырь 10 м):  
*a* — над идеальной землей; *b* — над реальной землей

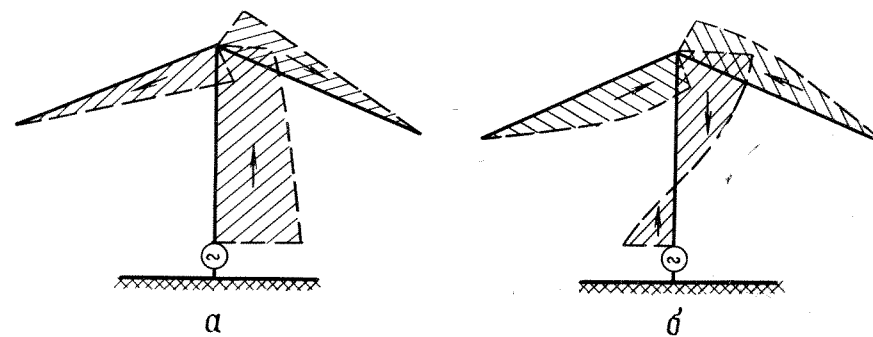


Рис. 5.8. Распределение тока в Т-образной антенне  
*a* — нижняя часть диапазона; *b* — верхняя часть диапазона



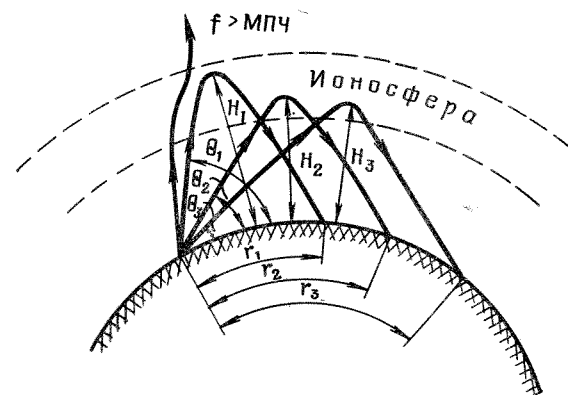


Рис. 5.4. Схема распространения ионосферных волн

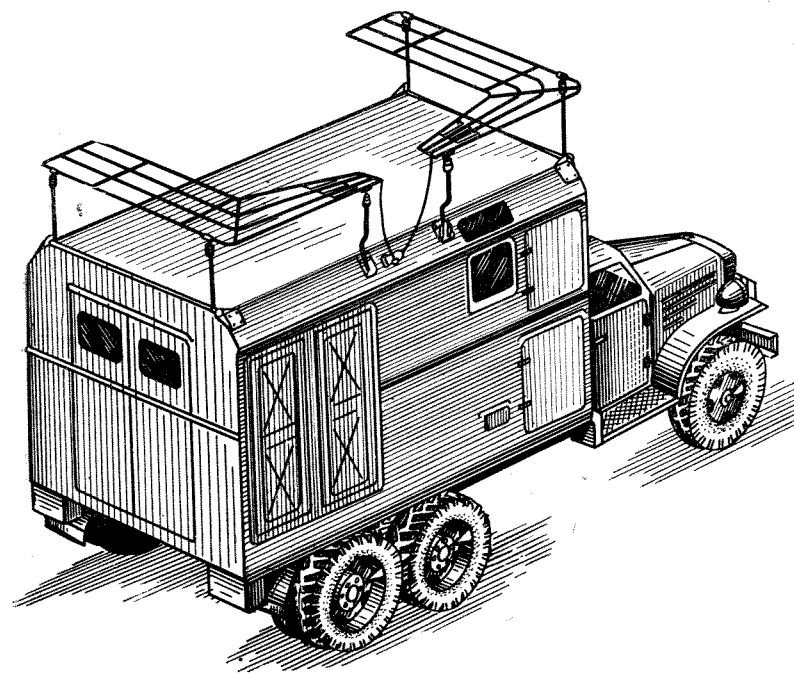


Рис. 5.5 Крышевая антенна зенитного излучения (АЗИ) для связи в движении

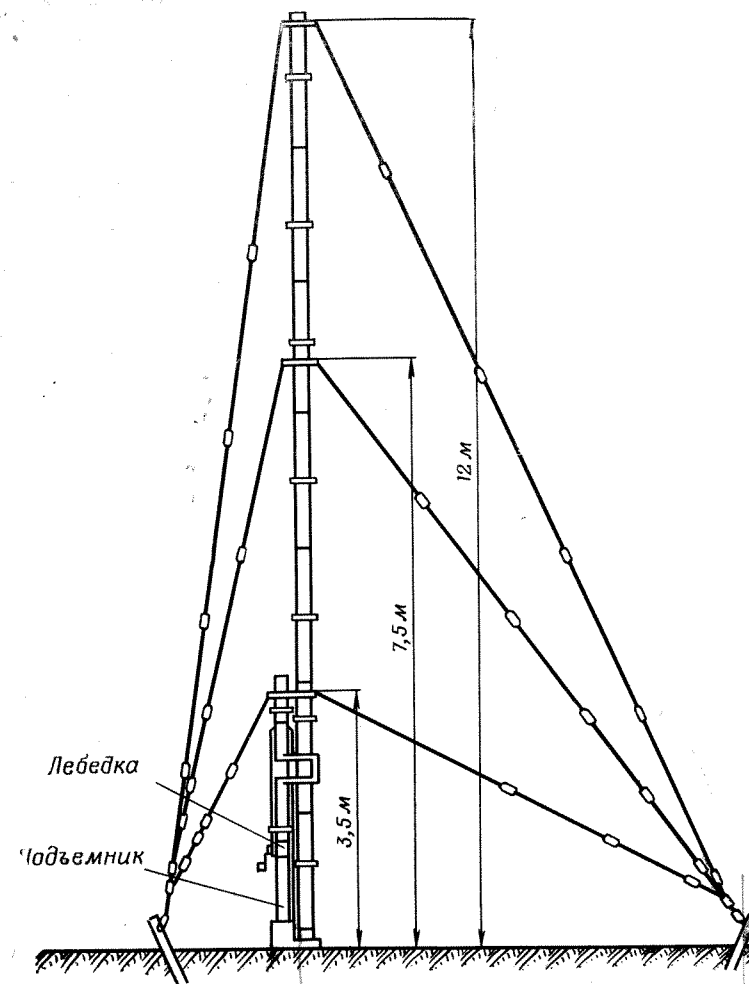


Рис. 5.6. Составная мачта 12 м

5,8 м

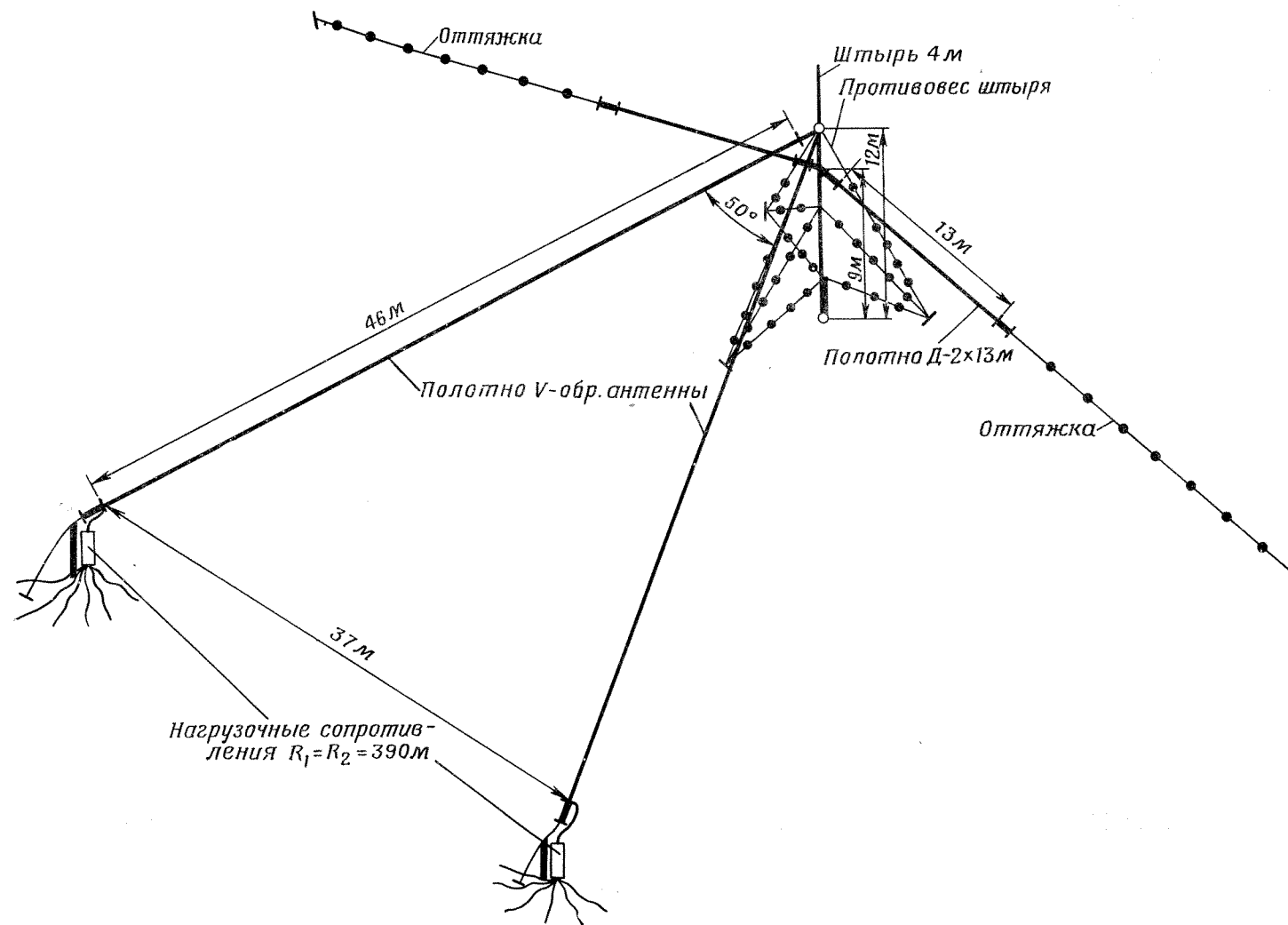


Рис. 5.3. Приемные антенны Д — 2 × 13 м, V-образная и штыревая на составной мачте 12 м

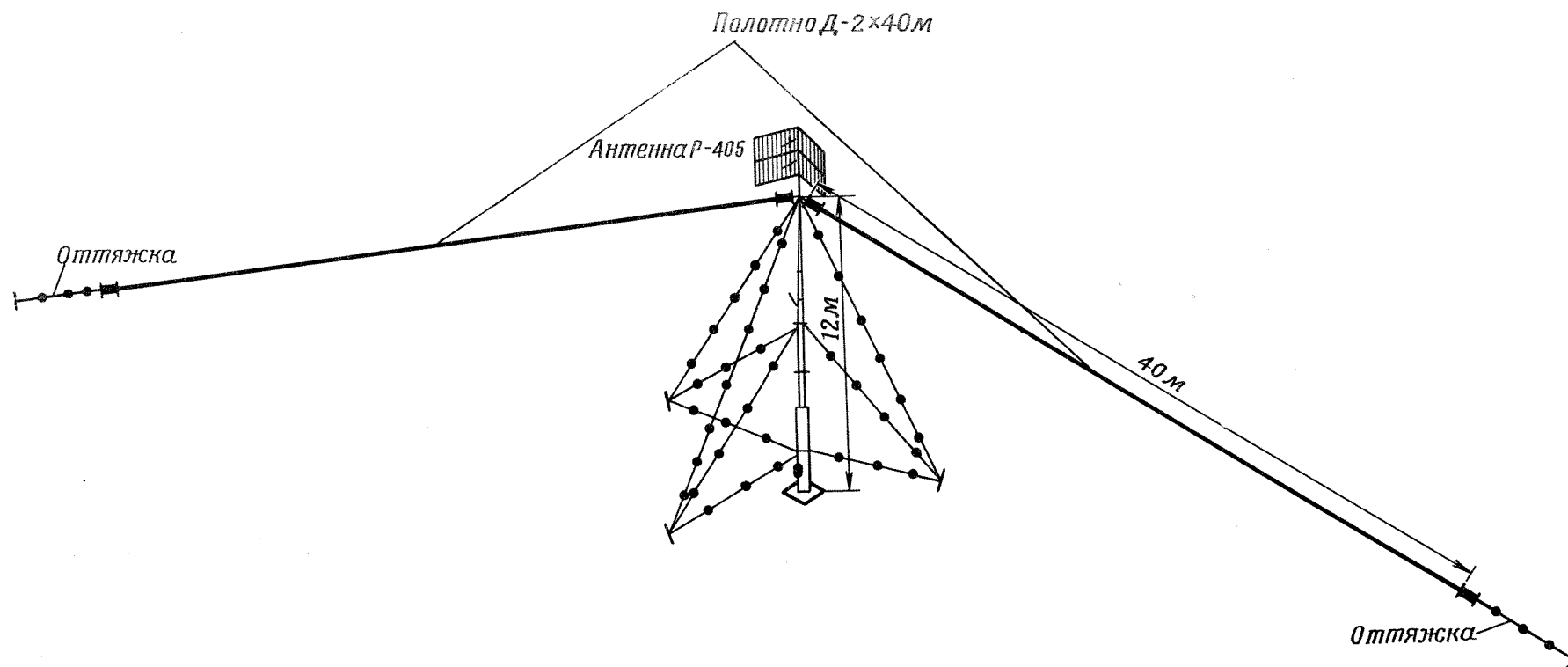


Рис. 5.2. Передающая антенна Д—2 × 40 м и антенна Р-405ПТ-1 на телескопической мачте 12 м

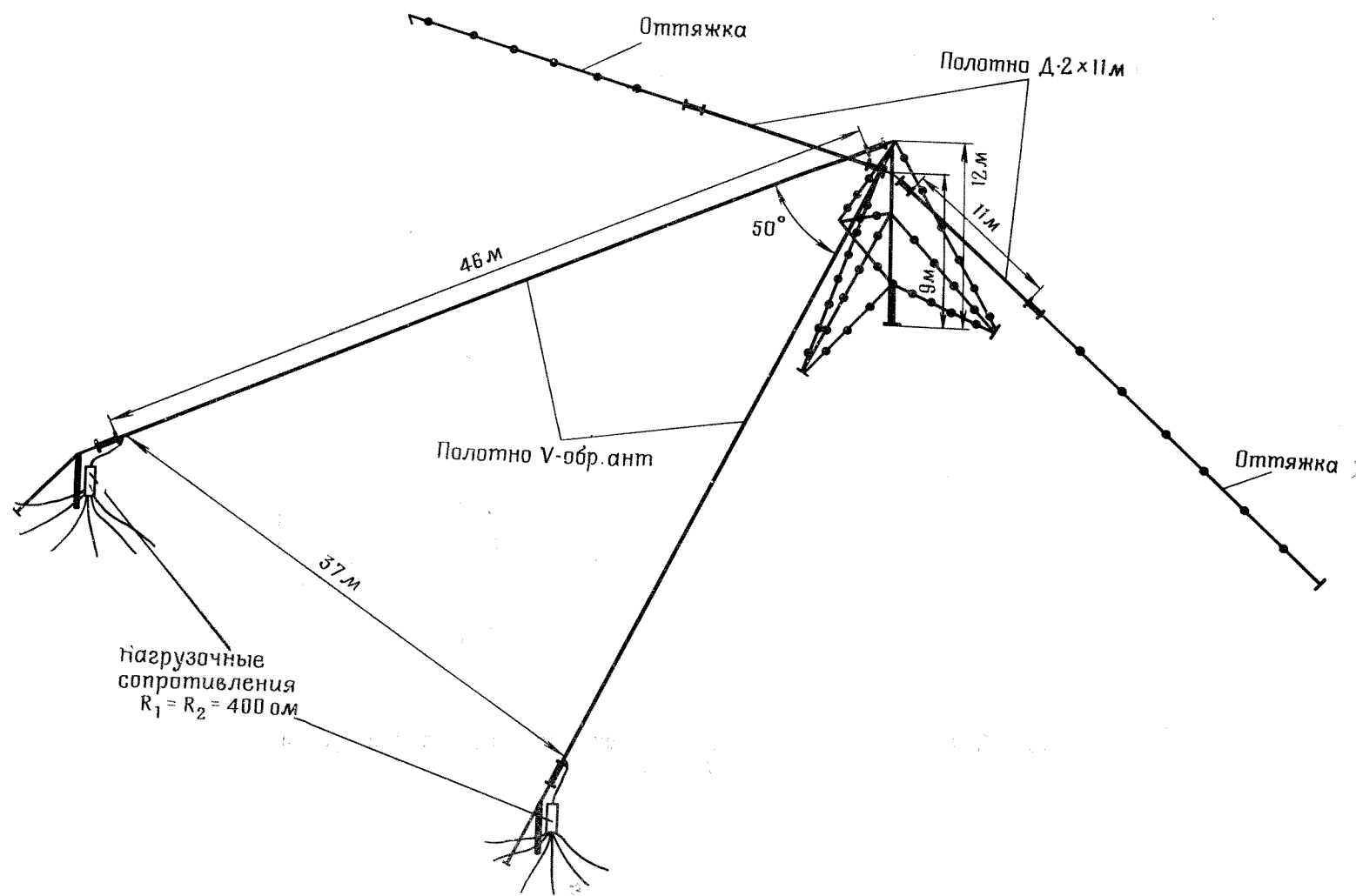


Рис. 5.1. Передающие антенны Д—2×11 м и V-образная на составной мачте 12 м